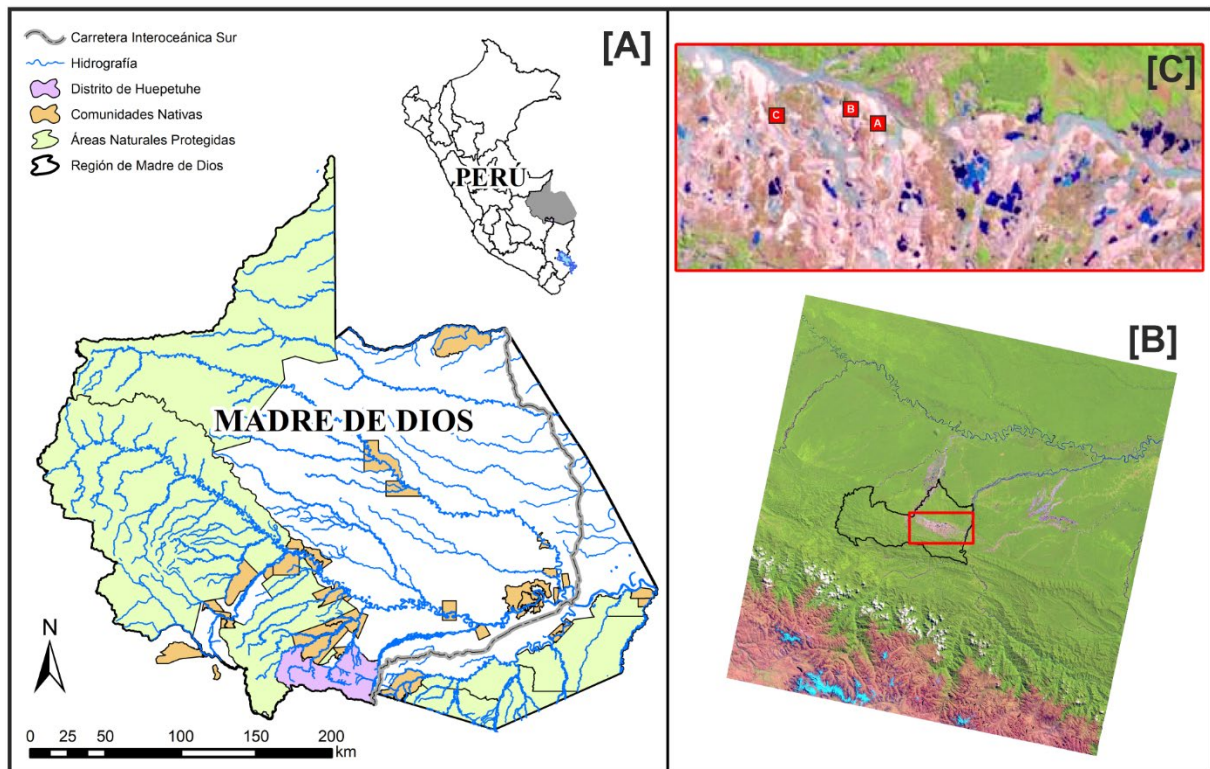


1 **Figuras.**



2

3 Figura 1. Ubicación del área de estudio, reforestación en áreas abandonadas por minería

4 aurífera la Amazonia peruana. (A) ubicación en Madre de Dios y en el Perú. (B y C) imagen

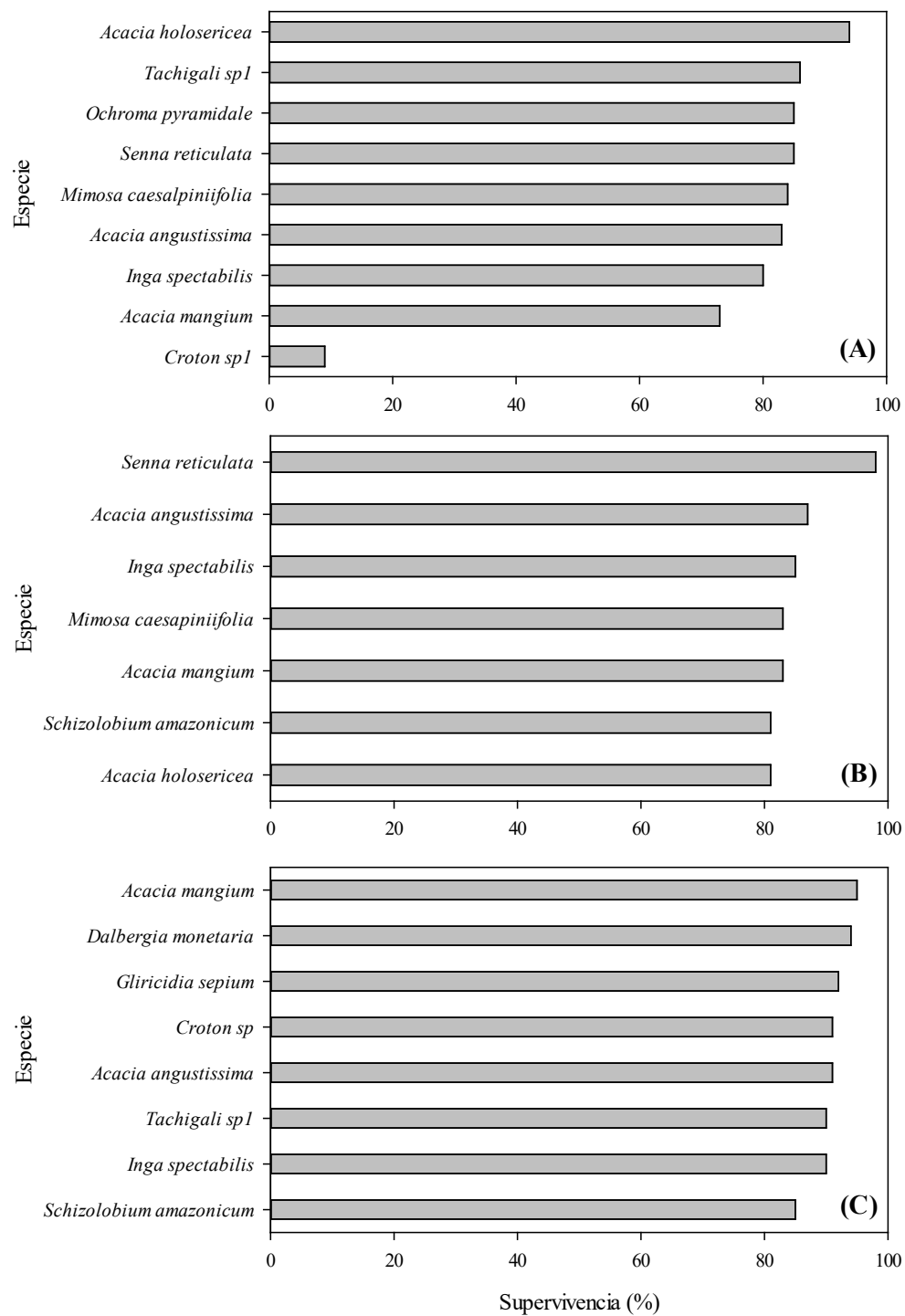
5 satelital LANDSAT 8 OLI (agosto 2019) del área de estudio, (B) ubicación del distrito de

6 Huepetuhe en Madre de Dios y (C) ubicación del área reforestada en Huepetuhe, se observa el

7 paisaje fragmentado, bosque de referencia y los cuerpos de agua generados por la minería

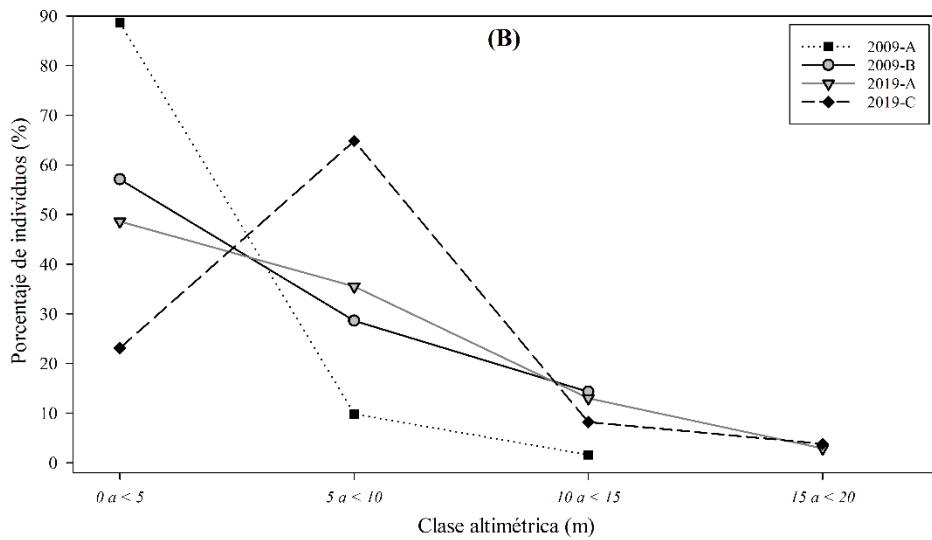
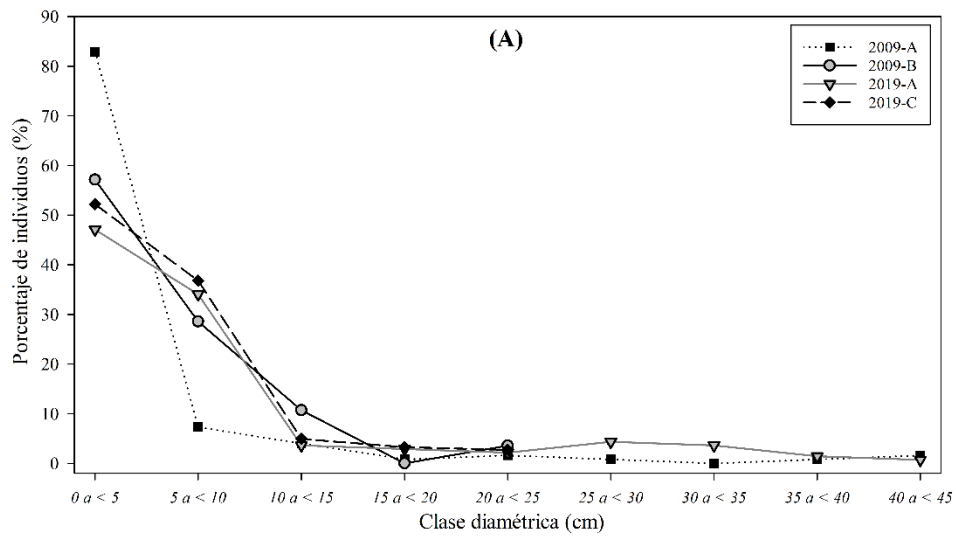
8 aurífera.

9



10  
 11 Figura 2. Porcentaje de supervivencia inicial de los individuos luego de reforestación en áreas  
 12 degradadas por minería aurífera en Huepetuhe, Madre de Dios Perú. Las letras diferencias a  
 13 las zonas evaluadas (A, B y C), la supervivencia de los individuos corresponde a 4 años  
 14 después de la plantación, mientras que en el sitio B y C corresponde a 1 año luego de la  
 15 plantación.

16

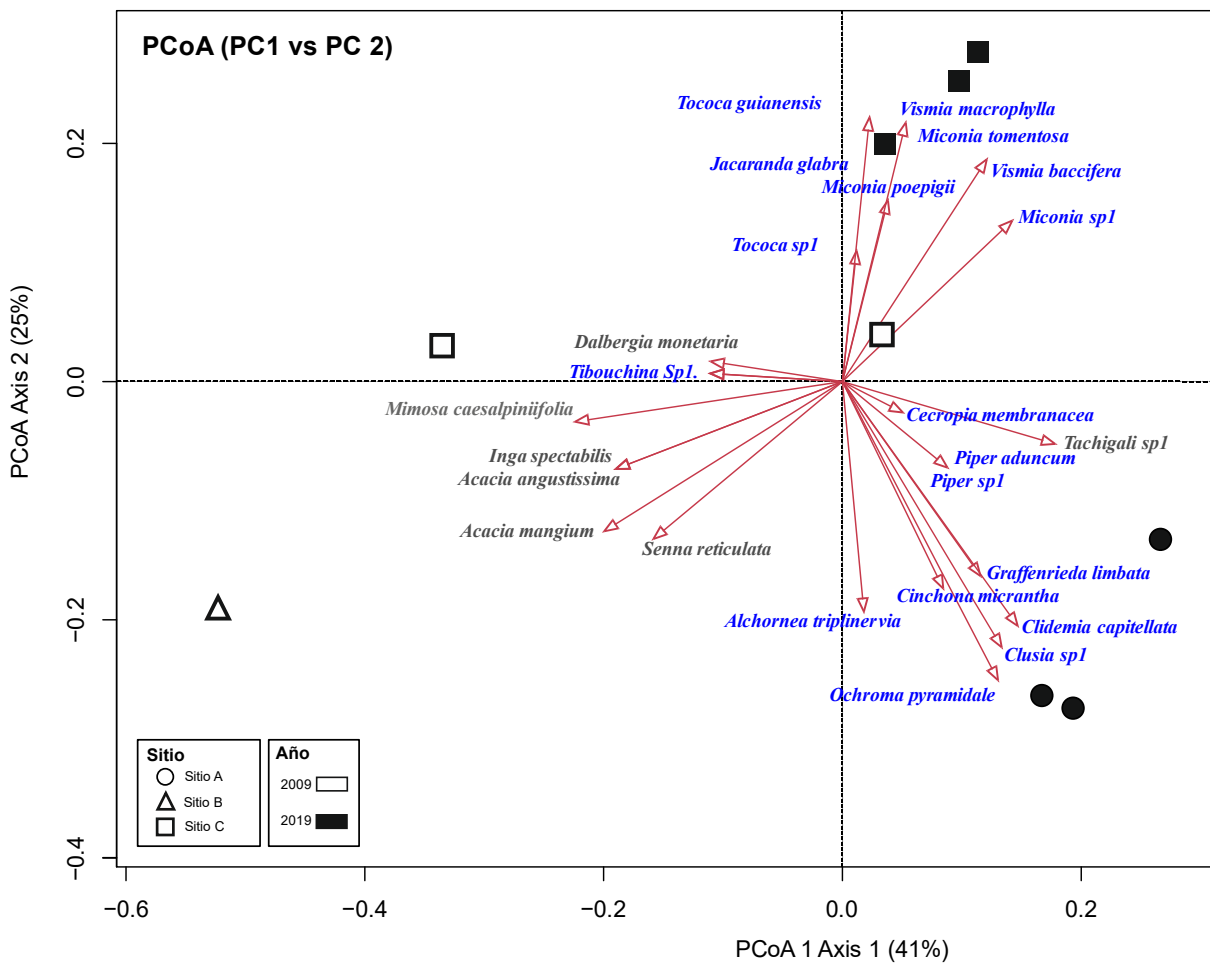


17

18 Figura 3. Estructura horizontal y vertical de la vegetación en sitios reforestados en áreas  
 19 abandonadas por minería aurífera la Amazonia peruana en las evaluaciones después de 10 y  
 20 20 años. A = clases diamétricas de 5 cm de rango. B =clases de altura de 5 m de rango.

21

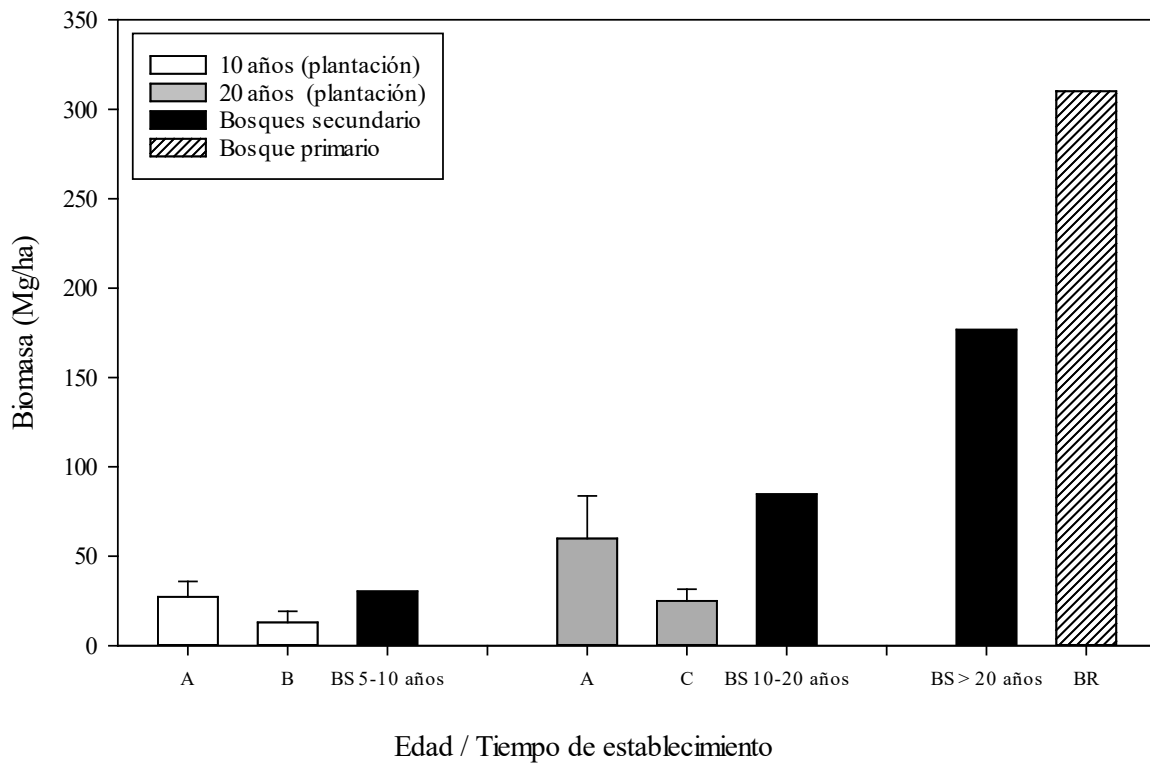
22



23

24 Figura 4. Diagrama del análisis de Coordenadas Principales (PCoA) indicando la similitud en  
 25 la composición florística de los sitios reforestados en áreas abandonadas por minería aurífera  
 26 la Amazonia peruana. En gris se encuentran las especies plantadas inicialmente y en azul se  
 27 diferencian a las especies espontáneas o colonizadoras del área.

28



29

30

31

32

33

34

35

36

37

38

39

40

41

42

43

Figura 5. Acumulación de biomasa aérea en sitios reforestados en áreas abandonadas por minería aurífera en la Amazonia peruana y comparación con valores promedio de biomasa de bosques secundarios y primarios de Madre de Dios-Perú. Barras blancas representan los sitios a los 10 (2009) años de plantación y las barras grises a los 20 años de plantación (2019). Los valores promedio de biomasa de los bosques secundarios y primarios se obtuvieron de Asner et al. (2014), Baker y Aguilar-Amuchastegui (2014) y Gutierrez et al. (2014).



44

45

46 Figura 6. Fotografías de la hojarasca bajo las copas de los árboles en áreas reforestadas luego  
47 de 20 años después la minería aurífera en la Amazonia peruana. (A) abundante hojarasca y  
48 regeneración natural de especies nativas, (B) colchón de hojarasca y raíces a una profundidad  
49 entre 5 cm – 7 cm en la zona A y de 3.5 a 6.3 cm en la zona C. (C y D) se observan la  
50 formación de agregados en el suelo y las gravas producto de la explotación minera.

51

52

53

54

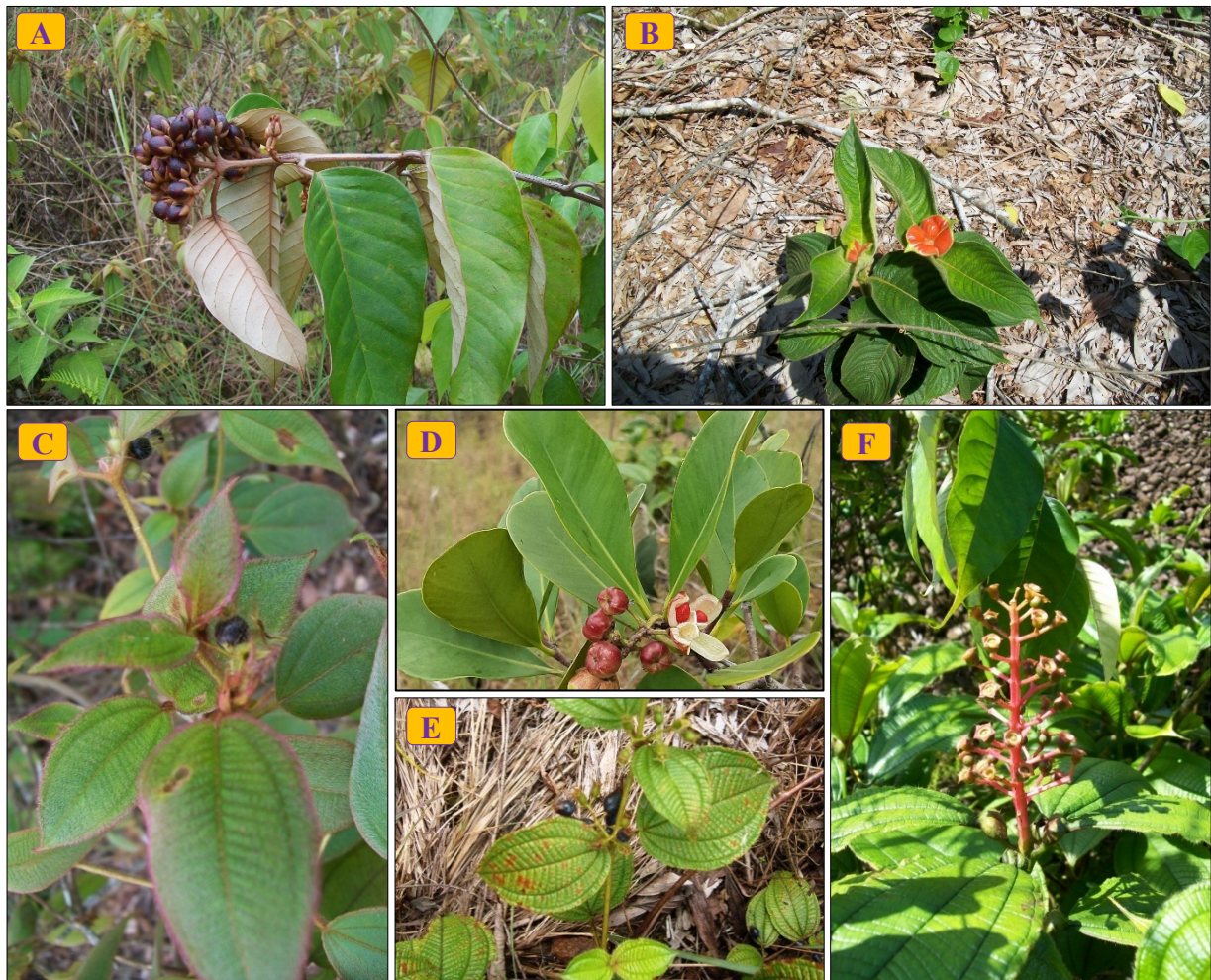
55

56

57

58

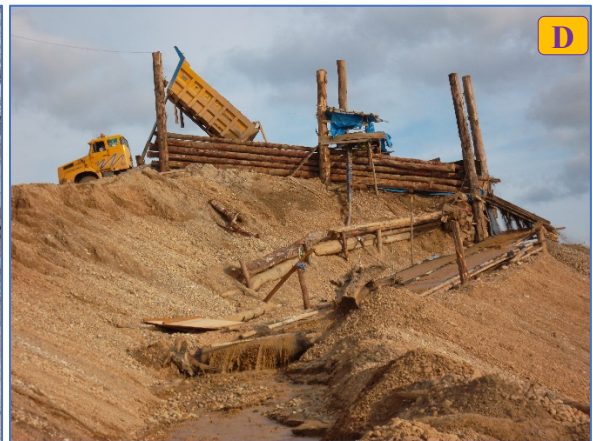
59  
60  
61  
62  
63  
64  
65  
66  
67  
68  
69  
70  
71  
72  
73  
74  
75



76 Figura 7: Especies en floración o fructificación encontradas en áreas reforestadas luego de 20  
77 años después de la minería aurífera en la Amazonia peruana. (A) *Vismia baccifera*, (B)  
78 *Psychotria* sp. 1, (C) *Clidemia capitellata*, (D) *Clusia* sp. 1, (E) *Miconia tomentosa* y (F)  
79 *Tococa guianensis*.

80  
81  
82  
83  
84  
85  
86

87 **Apéndice 1:** Proceso de deforestación de las áreas degradadas por minería en Huepetuhe,  
88 Madre de Dios (Perú). Fotografías del método de explotación minera, (A) remoción del suelo,  
89 (B y C) carguío y transporte de los materiales utilizando maquinaria pesada, (D) descarga de  
90 material en los chutes para su procesamiento gravimétrico, (E) grava y residuos generados  
91 con diámetro mayor a 1.5 cm y (F) área degradada y abandonada por la minería aurífera en  
92 Huepetuhe.



93

94

95